

圓筒殻の軸壓縮力による挫屈機構

吉 村 慶 丸

On the Mechanism of Buckling of a Circular Cylindrical Shell under Axial Compression

Yoshimaru YOSHIMURA

ABSTRACT: It is unquestionable that the lowering of the buckling load of a circular cylindrical shell is due to the non-linear characteristic of finite displacement theory proposed by v. Karman and Tsien. The author develops further considerations about the essential features of the buckling phenomena. First of all, the fact that the buckled surface is very near to a developable one different from the original cylindrical surface, and therefore the deformation in this case is finite and approximately inextensional, is confirmed both theoretically and experimentally. Based upon this fact, the general buckling and the local buckling with and without the loading spring being analysed from the view-point of energy, it is clarified that the buckling processes are all explained by the energy difference before and after buckling and the energy barrier to be jumped in this case. According to the results, the local buckling is more liable to occur than the general buckling, and in all cases the minimum load, above which the buckling can take place, exists, it being smaller in the case of local buckling than that of general buckling, and further depends on the rigidity of the spring in the case of local buckling.

(Received September. 3, 1951)

1. 緒 言

圓筒殻の軸壓縮力による挫屈の理論的限界荷重に對して、はるかに小さな實驗的挫屈荷重が A. Robertson,⁽¹⁾ E. E. Lundquist⁽²⁾ 及び L. H. Donnell⁽³⁾ によつて得られて以來、この矛盾を解決せんとする多くの努力と時間が費されたが、そのうちで挫屈荷重の低下以外に、挫屈の際の突發的大變位及び挫屈後の荷重の低下等という圓筒殻に特有の現象を合理的に解決する手段として Th. von Kármán and Hsue-Shen Tsien⁽⁴⁾ 及び河野氏⁽⁵⁾ の有限變形による非線型理論が妥當であることは、われわれの行つた實驗及び變形に関する理論的考察にてらして見ても略々確かである。

この考えのもとに、Kármán 等によつて得られ

た荷重～歪關係は確かに圓筒殻の一つの重要な特性を表わすものであるが、その計算は挫屈の波形の縦横比の特定の値に對して行われているのみならず、そこに於て考えられている如く、荷重～歪關係において荷重の極小値が挫屈後につねに實現されるものとするのは正當でない。實際に實現される状態は、あらゆる可能な状態のうちで、恒にエネルギー極小の條件を満たすものであり、その状態は、この種の正常でない問題に對しては、必ずしも荷重極小の状態と一致するものではなく、むしろ一般に異なるものである。この結果われわれはすべての事柄をエネルギーの立場から考えなおす必要に迫られ、それによつて挫屈荷重、挫屈後の状態並びにその際の變形等が決定されると考えなければならない。このことから更に又、圓

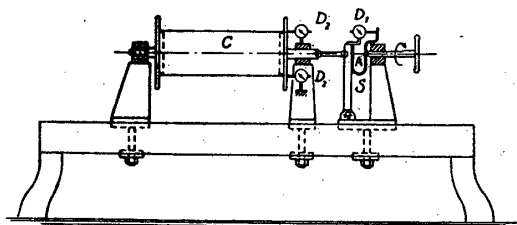
筒が全般的に挫屈することと局部的に挫屈することとは荷重の面からは同一であつてもエネルギー論的には全く異なる現象であることも豫想されるであらう。

筆者は圓筒殻の挫屈による變形が概不伸張變形であり且つ局部的であることを實驗的並びに理論的に明かにし、それ等の事實を基礎として、變形エネルギーの立場から挫屈の機構に関する考察を行おうとするものである。

2. 實驗及び實驗結果

圓筒殻の軸壓縮による挫屈荷重に関しては既に多くの實驗があり、今更事新しく附加える必要はないが、挫屈後の荷重といわゆる挫屈荷重との相違、或いは挫屈後の變形の特性並びに荷重装置の剛性による挫屈過程の相違等について確かな實驗的資料を得ることは理論的考察にとつて重要である。この挫屈後の變形は金屬では多くの場合塑性状態に入るので極めて不規則なものであり、弾性的性質を明かにすることが困難である。従つて以下に述べる實驗はすべて挫屈後も弾性的状態を保つセルロイド製圓筒について行つた。

實驗装置は第1圖に示す如く、圓筒Cの一端を



第1圖

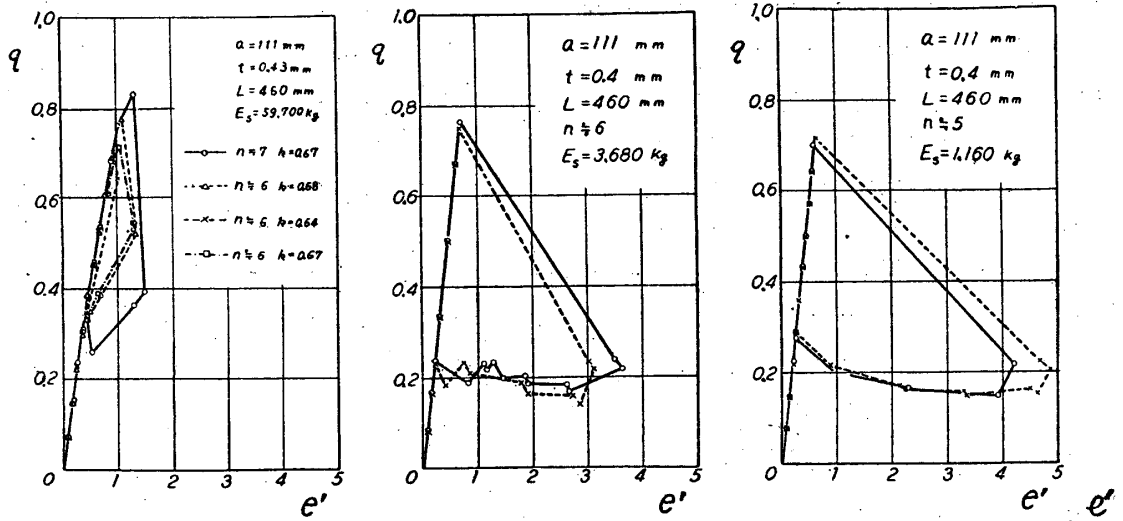
固定し、他端を馬蹄形バネSによつて軸受を介して壓縮した。荷重はバネの縮みをダイヤルゲージD₁により直接讀取ることによつて求め、その際軸受の摩擦力による補正(±2kg)は測定された荷重に比べて極めて小さいので省略した。又圓筒の縮みはその荷重端にとり付けたダイヤルゲージD₂より求めた。外力はA点においてネヂによつて加えられるので、着力点Aの位置は挫屈の前後において不變、即ちバネと圓筒を含む全體系の長さが一定である様に、バネ及び圓筒が夫々挫屈の前後においてその長さを變化する。この様な挫屈は境界條件が複雑であるので、後に述べる如く、理論的に單純でない。これに對して、後の

數理的取扱いに際して最も單純であり、すべての場合の基礎となるのは荷重端の變位一定、即ち外力による仕事は0の場合の挫屈であり、このためには剛性が無限大の荷重装置を必要とする。しかしかかる場合の荷重の測定は困難であるので、それに極めて近い場合として、圓筒に比較して極めて剛性の大きいバネを用いた場合を實驗した。

實驗はすべて半径 $a=111\text{mm}$ 、長さ $L=460\text{mm}$ 、板厚 $t=0.4\sim 0.43\text{mm}$ の圓筒について三種類の剛性のバネを用いて行ひ、その一例を第2圖(實驗1、實驗2、實驗3)に示す。實驗1は剛性 $E_s=59,700\text{kg}$ 、長さ $L_s=52\text{mm}$ のバネ、實驗2は $E_s=3,680\text{kg}$ 、 $L_s=46\text{mm}$ のバネ、實驗3は $E_s=1,160\text{kg}$ 、 $L_s=43\text{mm}$ のバネを用いた場合である。圖に於いて、横軸は $e' = e'/\sqrt{\alpha}$ 、縦軸は $q = \sigma/(E\sqrt{\alpha})$ 並びに $k = l_y/l_x$ であり、 e' は圓筒の單位長さ當りの軸方向の縮み、 $\alpha = \frac{t^2}{12(1-\nu^2)a^2}$ (a は半径、 t は板厚)、 E はセルロイドのヤング率で 300kg/mm^2 である。又 $2l_x$ 、 $2l_y$ は夫々挫屈による波形の軸方向及び圓周方向の波長であり、従つて k はその縦横比、 n は波形の圓周方向の數(全圓周にわたつて挫屈したと假定した場合)を表わす。

實驗1では挫屈の直前及び直後の e' の相違は極めて小さく、即ち完全に剛なバネで壓縮した $e' = \text{const}$ の場合と考えてもよいであらう。この様な剛いバネで壓縮した場合には荷重装置及び圓筒の非對稱性が挫屈後の状態に大きな影響を及ぼすので、圓筒の大部分にわたつて一樣な挫屈波形を作ることが極めて難しい。この影響を調べるために、同一の圓筒について、軸に對して 90° づゝ位置を廻轉した場合の四つの實驗を圖に示した。實線は圓周方向に5箇、軸方向に1波長半、破線は圓周方向に4箇、軸方向に1波長、點線は圓周方向に2箇、軸方向に1波長、鎖線は圓周方向に3箇、軸方向に1波長半の範圍に挫屈波形を生じた場合であり、挫屈直後の n 及び k の値は夫々圖に示してある。これによれば n の値はおよそ6~7、 k の値は0.6~0.7の範圍にある。又圖から分る如く、實際に生じた波形の數が少い程挫屈荷重が小さく、挫屈後の荷重は大きい傾向にある。これは廻轉非對稱のためにある部分に

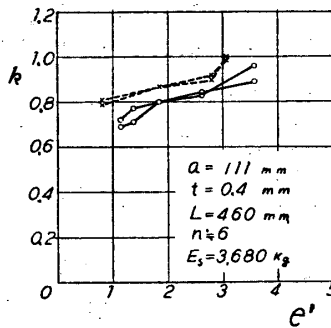
第 2 圖



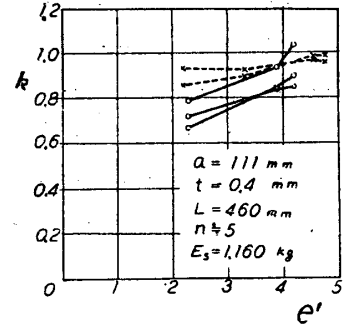
実験 1.

應力が集中し早く挫屈するためであり、挫屈後の荷重の大きいのは挫屈しない部分が大いことによるものである。大體順調に波形が生じた場合を考えるならば、挫屈荷重は約 $q=0.8$ で理論的限界荷重 $q=2$ の 40% 程度、挫屈後の荷重は $q=0.4$ でその 20% 程度である。圓筒の縮みを逆にもどすと荷重が減少し、挫屈の回復と同時に荷重が急激にやゝ増加し、回復後の荷重はすべての場合略々同一で約 $q=0.35$ である。

実験 2 は実験 1 に比べてバネが可なり軟いため挫屈後の變形が大きく、従つて荷重装置及び試験圓筒の非對稱の影響も餘り大きくなく実験結果もほゞ一定している。われわれの実験においては圓筒のディメンションとバネの剛性を一定とすれば挫屈荷重等の値は圓筒の個性によつて餘り左右されず、そのバラッキは從來の実験結果に比べてはるかに小さい（これは從來の実験が試験機の剛性等の異なる条件の下に行われたためと考えられる）。従つて圖にはこれらの実験結果を二つの例によつて示した。又この場合、縮みをもどして行くと、 n の値は一定のまま波形が變化することが認められるので、荷重と共に k の變化を測定し、その結果を第 2 圖に示す。これらの結果によれば、挫屈荷重 $q=0.76$ は理論的限界荷重の約 38% で実験 1 の場合より稍々小さい。挫屈直後の荷重 $q=0.235$ は理論値の 12%、縮みをもどすときは略々一定の荷重 $q=0.2$ で、回復に際して



実験 2.



実験 3.

不連続的に上昇する。尚 n は大體 6、 k は平均して挫屈直後の値 0.93 より回復直前の値 0.75 位まで變化する。

実験 3 は実験 2 の場合よりバネが更に軟く、挫屈荷重は約 $q=0.72$ で理論的限界荷重の 36%、挫屈後の荷重は $q=0.22$ で理論的限界荷重の 11% である。実験 2 に比べてすべての荷重が稍々小さく、挫屈後の e' ははるかに大きい。又 $n=5$ で実験 2 の場合より稍々小さく、 $k=0.95\sim 0.8$ 程度で僅かに大きくなっている。

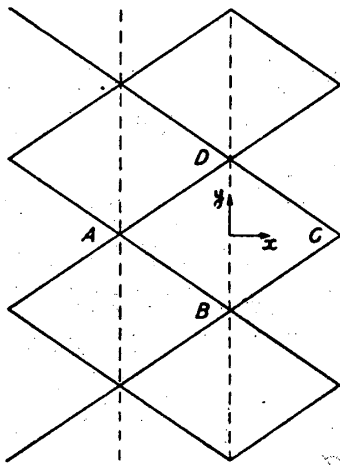
以上の実験結果を概観して著しい點は、挫屈荷重及び挫屈直後の荷重はバネの剛性が小さい程減少し、挫屈直後の波形の形狀はバネが剛いほど軸方向に長い、即ち k の値が小さいこと、及び n の値はバネが剛いほど増大する傾向にあること等である。又縮みをもどす際の荷重の變化の有様等もバネの剛性によつて著しく異なるようである。

3. 挫屈による變形の特性

圓筒殼の挫屈による變形には、以上に述べた波形の數及びその縦横比に関する特性以外に、尙次の様な二つの著しい性質がある。

第1はわれわれが実験に用いた様な可なり長い圓筒においては、挫屈が圓筒全體にわたつて生じた例は全くなく、つねに一局部に限定されることである。而してこの挫屈の生じる範圍はほとんどすべての場合に軸方向には 1.5 波長の長さであり、圓周方向にはその時の條件により一定しない。この軸方向の長さが一定であることは後に述べる如くエネルギーの條件によるものと考えられる。又多くの場合圓周方向全體にわたつて挫屈しないことは、圓筒及び荷重條件を圓筒の軸に対して完全に軸對稱とすることが困難なことによるものである。

第2の特性は、挫屈直前或いは挫屈の回復直前の極めて小さな變形状態においては平板の場合に似た性質の單純な三角函數で表わせる様な變形が現われるが、挫屈後の變位の大きな安定した状態では變形が展開可能面に極めて近い形のものであることである。即ち挫屈後の大きな變形は第3圖に示すごとく、ABCDの部分の規則正しい連



第3圖

續であり、AB, BC, CD及びDAは夫々圓筒の外部から見て峰、BCは谷に相當し、且つ何れもほとんど直線に近い。又面ABD及びBCDは僅に曲つてはいるが極めて平面に近い。即ち峰、谷及び面ABDの至る處で Gaussの曲率

$$K=1/(R_1R_2) \tag{3.1}$$

は0に近い値をもち、従つて挫屈した曲面は展開可能面に極めて近いことを示すものである。然るに圓筒面は展開可能面であるから、挫屈に伴う變位がどれ程大きなものであつても、挫屈後の曲面が展開可能面に近いためにはその變形は不伸張

變形に近いものでなくてはならない。何故ならば、適合條件

$$\frac{1}{2} \left[2 \frac{\partial^2 F}{\partial x \partial \theta} - \frac{\partial^2 E}{\partial \theta^2} - \frac{\partial^2 G}{\partial x^2} \right] = LN - M^2 \tag{3.2}$$

(但し E, F, G; L, M, Nは夫々曲面の第一種及び第二種の基礎量)において、右邊

$$LN - M^2 = KH^2, H^2 = EG - F^2 \tag{3.3}$$

は變形前の圓筒面に對しては完全に0、變形後の曲面に對しては0に近い値をもち、従つて中性面の歪成分を $\epsilon_x, \epsilon_\theta, \gamma_{x\theta}$ とするとき

$$2 \frac{\partial^2 \gamma_{x\theta}}{\partial x \partial \theta} - \frac{\partial^2 \epsilon_x}{\partial \theta^2} - \frac{\partial^2 \epsilon_\theta}{\partial x^2}$$

が0に近い値をもつ。従つて中性面の歪に関する限り、圓筒はそれ自身の面内の變形に近い變形を行うことゝ同等であり、この様な變形を生じるための中性面の歪は薄い殼の場合には極めて小さなものでなくてはならない。この意味でわれわれは變形した曲面が展開可能面に近いためにはその變形は概不伸張變形でなくてはならぬということが出来る。而して變形後の中性面のこの完全な展開可能面よりの距りは殼の板厚によつて異り、板厚が薄い程峰又は谷はますます直線に近づき、面ABDはますます平面に近づく。薄くなつた極限、即ち理想的な膜においてはAB, BC, CD, DA及びBDにおいて折れ曲つた完全な平面ABDの連結した形のものとなることが豫想される。

この理想的な膜において實現される完全な展開可能面の場合に第3圖のA點を通る様な横断面を圖示すれば第4圖(a)の様な多角形となる。この多角形を一般にn邊形とすれば、上に述べた様にこの變形は完全な不伸張變形であるから、n邊形の一邊の長さは $2\pi a/n$ である。従つて圖において

$$h = \frac{\pi a}{n} \cot \frac{\pi}{n} = a \left(1 - \frac{\pi^2}{3n^2} \right)$$

となり、谷における最大變位 δ は

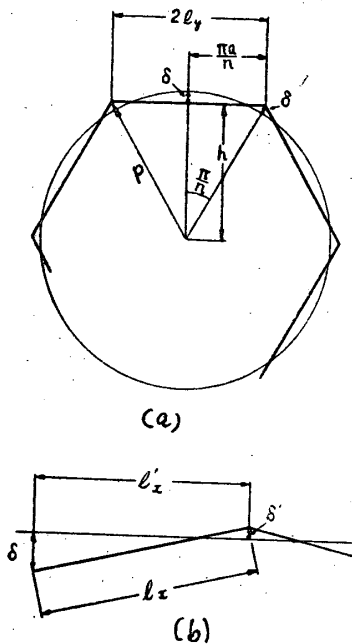
$$\delta = a - h = a \frac{\pi^2}{3n^2} \tag{3.4}$$

によつて與えられる。又

$$p = \frac{\pi a}{n} \operatorname{cosec} \frac{\pi}{n} = a \left(1 + \frac{\pi^2}{6n^2} \right)$$

であるから、峰における最大變位は外側に

$$\delta' = p - a = a \frac{\pi^2}{6n^2} \tag{3.5}$$



第 4 圖

である。前に述べた如く、挫屈波形の軸 (x) 方向及び圓周 (y) 方向の波長 $2l_x, 2l_y$ の比を

$$k = l_y/l_x \quad (3.6)$$

とおけば、 $l_y = \pi a/n$ により

$$l_x = \pi a/(nk) \quad (3.7)$$

又第 3 圖の A 點を通る縦断面圖第 4 圖 (b) において

$$l'_x = \sqrt{l_x^2 - (\delta + \delta')^2}$$

であるから、圓筒の軸方向の單位長さ當りの縮み (歪) ϵ は

$$\epsilon = \frac{l_x - l'_x}{l_x} = \frac{1}{2} \frac{(\delta + \delta')^2}{l_x^2}$$

によつて與えられる。従つて (3.4), (3.5) 及び (3.7) により

$$\epsilon = \frac{\pi^2}{8} \frac{k^2}{n^2} \quad (3.8)$$

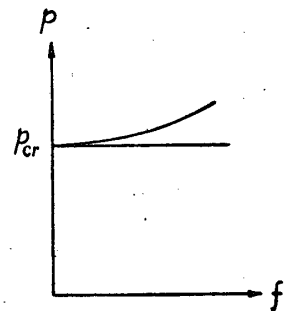
が得られ、理想的圓筒形膜の軸方向の縮みは波形が軸方向に扁平であり、波形の全圓周についての數が小さい程大きい。理想的な膜においては、曲げに對して全く抵抗をもたないから、この様な挫屈を生ぜしめるための壓縮力は 0 である。膜においては上述の如く圓筒面と全く異つた完全な展開可能面が存在するが、實際の殻の場合には、曲げ剛性のためにこの展開可能面から變形がずれてきて、その結果 0 でない壓縮應力を示すものと考えられる。圓筒殻の場合にも常數が異なるのみで (3.8) と同様の關係が成立つことが後に示されるが、こ

のことは上の事實を裏付けるものといえよう。

一般に平板の有限變位においては、曲げが大きくなればそれに伴つて中性面の伸びも大きくならざるを得ない。これは通常境界條件の下では、平面がそれ自身以外に展開可能面をもたないことによるものである。即ち變位が大きくなるに従つて、全變形のエネルギーに對して伸びのエネルギーの占める割合が益々大きくなり、遂には曲げのエネルギーはその變形には近似的に關與しなくなると考えられる。勿論圓筒殻においてもこの様な意味の有限變位も存在するのであるが、挫屈による變形は上述の如くこれと全く異なる性質のもので、極めて大きな變位に對して略々不伸脹と考えられ曲げ及び伸びのエネルギーの關與する割合は同程度のものである。このために、圓筒殻の挫屈を取扱うに當つて曲率變化における變位の導函數に關する高次の項を考える必要を生ずるのであつて、それは丁度長柱の壓縮挫屈において曲率を $w_{xx}(1 + \frac{1}{2}w_x^2)$ の如く取る必要を生じたのと同様である。

長柱における補正項 $\frac{1}{2}w_x$ の影響は第 5 圖に見られる如く撓み f と共に増大する。圓筒殻の場合にもこれと同じような影響があるものと考えられるが、後にわれわれが假定する變形は實際の挫屈による變形とは可なり距つたものであり、これに起

第 5 圖



因する誤差も可なり大きいものと考えられる。従つて曲率變化における高次の項を考慮したとしても量的な正確さを望むことは困難であるから、以下の計算ではそれをすべて省略することとする。

以上のような假定のもとに、展開可能面の存在をやゝ數理的に取扱うために次に Gauss の曲率 K , 即ち (3.3) について考える。 L, M, N における高次の項を省略することが出来るから、

$$L = \frac{1}{a} w_{xx}, \quad M = w_{xy}, \quad N = a(1 + w_{yy}) \quad (3.9)$$

が得られる⁽⁶⁾。但しこゝに $w/a, x/a, y/a$ の代りに夫々 w, x, y と記してある。以下の計算においてはすべて dimensionless の量を取り、 $u/a,$

v/a についても同様に u, v と記す。そうすると K は

$$K = \frac{1}{a^2} \left[w_{xx}(1+w_{yy}) - w_{xy}^2 \right] \quad (3.10)$$

によつて與えられる。變位 w によつて第 3 圖の様な展開可能面に近い變形を表わすためには、Fourier 二重級數

$$w = \sum f_{ij} \cos i\lambda x \cos j\mu y \quad (3.11)$$

の相當の項數をとらなければならぬ。こゝに f_{ij} は δ_{ij} を各變形成分の撓みとすると、

$$f_{ij} = \frac{\delta_{ij}}{a} \quad (3.12)$$

によつて與えられ、且つ

$$\lambda = 2\pi a/2l_x, \quad \mu = 2\pi a/2l_y \quad (3.13)$$

である。今簡単のために、假りに x, y 軸に平行な節線をもつ波形

$$\cos \lambda x \cos \mu y$$

と x 軸と $\pm \arctan \frac{\lambda}{\mu}$ の方向に節線をもつ波形

$$\begin{aligned} & \cos(\lambda x + \mu y) \cos(\lambda x - \mu y) \\ & = \frac{1}{2} (\cos 2\lambda x + \cos 2\mu y) \end{aligned}$$

とを重ね合せた

$$\begin{aligned} w &= f_0 + f_1 \cos \lambda x \cos \mu y \\ &+ \frac{1}{2} f_2 (\cos 2\lambda x + \cos 2\mu y) \end{aligned} \quad (3.14)$$

を採用するならば

$$\begin{aligned} a^2 K &= \lambda^2 (2f_1 f_2 \mu^2 - f_1) \cos \lambda x \cos \mu y \\ &+ \lambda^2 (\frac{1}{2} f_1^2 \mu^2 - 2f_2) \cos 2\lambda x \\ &+ \frac{1}{2} f_1^2 \lambda^2 \mu^2 \cos 2\mu y \\ &+ 4f_2^2 \lambda^2 \mu^2 \cos 2\lambda x \cos 2\mu y \\ &+ f_1 f_2 \lambda^2 \mu^2 (\cos \lambda x \cos 3\mu y \\ &+ \cos 3\lambda x \cos \mu y) \end{aligned} \quad (3.15)$$

となり、これらの各項の中 0 とすることが出来るのは第 1, 第 2 項のみであり、假りにそれを 0 とする様に f_1, f_2 をえらべば

$$f_1 = \sqrt{2}/\mu^2, \quad f_2 = 1/2\mu^2 \quad (3.16)$$

である。周方向の波形の數を n とすれば (3.13) により $\mu = n$ となり (3.4) と同じ形の結果を得ることは注目に値する。第 3 項以下は $f_1, f_2 = 0$ 以外の値によつて消失せしめることが出来ないが、しかしこれによつて K を出来るだけ小さくする 0 でない f_1, f_2 の有限の値が存在することが豫想される。實際に (3.14) の代りに無限級數 (3.11) をとれば完全に $K=0$ ならしめるような係數

$$f_{ij} = g_{ij}/\mu^2, \quad g_{ij} = \text{const}, \quad (3.17)$$

が存在し、有限の項數に限ればその範圍において K を最小ならしめる係數が存在する。従つて殻が薄くなるほど項數の多い級數を必要とし、理想的な膜においては無限級數を必要とするものと考えられる。

平板においては (3.10) において w_{xx} の項が存在しないために、 K の各項が正となり、 $f_{ij} = 0$ 以外には K を 0 とする f_{ij} の値が存在しない。以上の考察によつても、平板ではそれ自身以外に展開可能面が存在しないが、圓筒殻ではそれ自身以外に有限の變位によつて與えられる他の展開可能面が存在することが明かである。これが平板と圓筒殻が挫屈に對して根本的に異なる性質を示す原因である。

4. 全般的挫屈

前節に述べた如く、實際の挫屈はほとんどの場合局所的であるといつてよいのであるが、そのような場合を取り扱うときの基礎となるのは、圓筒全體にわたつて挫屈する全般的挫屈 (general buckling) である。

本論に入る前に、われわれはこれから取扱う挫屈の變形において應力函數が存在することを證明しておく必要がある。それは従來は應力函數の存在は平衡方程式

$$\left. \begin{aligned} \frac{\partial T_{11}}{\partial x} + \frac{\partial T_{12}}{\partial y} - T_{13}L - T_{23} \frac{M}{a} &= 0 \\ \frac{\partial T_{12}}{\partial x} + \frac{\partial T_{22}}{\partial y} - T_{13} \frac{M}{a} - T_{23} \frac{N}{a^2} &= 0 \\ \frac{\partial T_{13}}{\partial x} + \frac{\partial T_{23}}{\partial y} + T_{11}L + 2T_{12} \frac{M}{a} \\ &+ T_{22} \frac{N}{a^2} = 0 \end{aligned} \right\} \quad (4.1)^{(6)}$$

において第 1, 第 2 式の第 3, 第 4 項が第 1, 第 2 項に對して省略されることゝ解されているのが常であるからである。これは物理的には伸張に對して曲げが省略出来ることを意味するものであつて、通常伸張變形に對する考え方である。これに對して挫屈による變形は概不伸張變形で、挫屈後の T_{11}, T_{12}, T_{22} は相當小さく、 L, M, N は大きいのであるから簡単に上の様な理由で應力函數の存在を結論することは出来ない。併しこの様な大きな曲率變化を伴う變形に對しても、

變形曲面が展開可能面である場合に限つてわれわれは應力函数の存在を導くことが出来る。即ち(4.1)の第1, 第2式を T_{13}, T_{23} について解くときは

$$\left. \begin{aligned} T_{13} \frac{LN-M^2}{a^2} &= -\frac{M}{a} \left(\frac{\partial T_{12}}{\partial x} + \frac{\partial T_{22}}{\partial y} \right) \\ &+ \frac{N}{a^2} \left(\frac{\partial T_{11}}{\partial x} + \frac{\partial T_{12}}{\partial y} \right) \\ T_{23} \frac{LN-M^2}{a^2} &= L \left(\frac{\partial T_{12}}{\partial x} + \frac{\partial T_{22}}{\partial y} \right) \\ &- \frac{M}{a} \left(\frac{\partial T_{11}}{\partial x} + \frac{\partial T_{12}}{\partial y} \right) \end{aligned} \right\} (4.2)$$

となり, 展開可能面, 即ち $LN-M^2=0$ に對しては

$$\frac{\partial T_{11}}{\partial x} + \frac{\partial T_{12}}{\partial y} = 0, \quad \frac{\partial T_{12}}{\partial x} + \frac{\partial T_{22}}{\partial y} = 0 \quad (4.3)$$

が成立つ。従つて圓筒殼の挫屈に對しては近似的に應力函数が存在するという結論が得られ, これは結果においては従來と全く同じであるが, 理由を異にするものである。

以上によつて

$$T_{11} = Et\chi_{yy}, \quad T_{12} = -Et\chi_{xy}, \quad T_{22} = Et\chi_{xx} \quad (4.4)$$

とおくことが出来るから, 適合條件は高次の微小量を省略することによつて

$$\nabla^4 \chi = -(LN-M^2) \quad (4.5)$$

と書かれる。こゝに χ は應力函数である。而して L, M, N としては(3.9)を用うことが出来る。(4.5)の右邊は極めて小さな量であるから, 變位 w としてはこの條件を満足し得るものを選ぶべきである。前にも述べた様にこの條件を一應満足し得る函数として(3.14)を採用するならば(4.5)より

$$\begin{aligned} \chi = & -\frac{\lambda^2}{(\lambda^2 + \mu^2)^2} (2\mu^2 f_1 f_2 - f_1) \cos \lambda x \cos \mu y \\ & - \frac{1}{16} \left(\frac{1}{2} \frac{\mu^2}{\lambda^2} f_1^2 - \frac{2}{\lambda^2} f_2 \right) \cos 2\lambda x \\ & - \frac{1}{32} \frac{\lambda^2}{\mu^2} f_1^2 \cos \mu y - \frac{\lambda^2 \mu^2 f_1 f_2}{(\lambda^2 + 9\mu^2)^2} \cos \lambda x \cos 3\mu y \\ & - \frac{\lambda^2 \mu^2 f_1 f_2}{(9\lambda^2 + \mu^2)^2} \cos 3\lambda x \cos \mu y \\ & - \frac{1}{4} \frac{\lambda^2 \mu^2}{(\lambda^2 + \mu^2)^2} f_2^2 \cos 2\lambda x \cos 2\mu y \\ & - \frac{1}{2} \frac{\sigma}{E} y^2 \end{aligned} \quad (4.6)$$

が得られ, こゝに σ は壓縮應力を正とすると

く取つてある。これより(4.4)により斷面力 T_{11}, T_{12}, T_{22} 従つて中性面の歪 e_{11}, e_{12}, e_{22} が得られ,

$$e_{11} = u_x + \frac{1}{2} w_x^2, \quad e_{22} = v_y - w + \frac{1}{2} w_y^2$$

により, 周期項を省略するならば

$$\left. \begin{aligned} u_x &= -\frac{\sigma}{E} - \frac{\lambda^2}{8} f_1^2 - \frac{\lambda^2}{4} f_2^2 \\ v_y &= \nu \frac{\sigma}{E} - \frac{\mu^2}{8} f_1^2 - \frac{\mu^2}{4} f_2^2 + f_0 \end{aligned} \right\} (4.7)$$

が得られる。

完全な展開可能面においてはわれわれは既に

$$f_1, f_2 = \frac{\text{const}}{n^2}$$

とおき得ることを(2.4)或いは(2.16)において知つていたので, 展開可能面に近い曲面においても

$$f_1 = \frac{g_1}{n^2}, \quad f_2 = \frac{g_2}{n^2} \quad (4.8)$$

とおくときは, g_1, g_2 を近似的に常數と考えることが出来るであろう。このようなパラメーター g_1, g_2 を導入することの有利な點はこれによつて後の計算を容易にすることが出来るのみならず, 挫屈による變形の機構に對して具體的な概念を得ることが出来ることである。(3.6)により

$$k = \frac{\lambda}{\mu} = \frac{\lambda}{n} \quad (4.9)$$

であるから, 圓筒の軸方向の單位長さ當りの縮みを ϵ とすると

$$\epsilon = -u_x = \frac{\sigma}{E} + \frac{k^2}{n^2} \left(\frac{1}{8} g_1^2 + \frac{1}{4} g_2^2 \right) \quad (4.10)$$

$$v_y = \nu \frac{\sigma}{E} - \frac{1}{n^2} \left(\frac{1}{8} g_1^2 + \frac{1}{4} g_2^2 \right) + f_0 \quad (4.11)$$

となる。 f_0 は $v_y=0$ の條件より

$$f_0 = -\nu \frac{\sigma}{E} + \frac{1}{n^2} \left(\frac{1}{8} g_1^2 + \frac{1}{4} g_2^2 \right) \quad (4.12)$$

(4.10) は或いは

$$q = \frac{\sigma}{E\sqrt{\alpha}}, \quad e = \frac{\epsilon}{\sqrt{\alpha}} \quad (4.13)$$

$$\eta = n^2 \sqrt{\alpha} \quad (4.14)$$

$$\alpha = \frac{f^2}{12(1-\nu^2)a^2} \quad (4.15)$$

を用いることにより

$$e = q + \frac{k^2}{\eta} \left(\frac{1}{8} g_1^2 + \frac{1}{4} g_2^2 \right) \quad (4.10')$$

と書くことが出来る。

(4.10) より, 圓筒の軸方向の縮み ϵ 或いは e

は圓筒が挫屈しないとした場合の平均圧縮應力による弾性的な縮み

$$\epsilon_1 = \frac{\sigma}{E} \quad \text{或いは} \quad \epsilon_1 = q \quad (4.16)$$

と圧縮應力が作用しないと仮定した場合の挫屈による幾何學的形狀の變化による縮み

$$\left. \begin{aligned} \epsilon_2 &= \frac{k^2}{n^2} \left(\frac{1}{8} g_1^2 + \frac{1}{4} g_2^2 \right) \\ \text{或いは} \quad \epsilon_2 &= \frac{k^2}{\eta} \left(\frac{1}{8} g_1^2 + \frac{1}{4} g_2^2 \right) \end{aligned} \right\} \quad (4.17)$$

との和であることが分る。(4.17)を(3.8)と比較すると常数を除いて全く同じ形であり、(4.17)の係数 $\frac{1}{8}g_1^2 + \frac{1}{4}g_2^2$ の値の(3.8)の係数 $\pi^2/8$ との相違は完全な展開可能面からの偏差を表わす一種の尺度と考えてよいであろう。同様に、(4.12)により、平均の半径の減少も純弾性的な部分と純幾何學的な部分との和からなり、後者は n^2 に逆比例することが分る。

次に圓筒全體の弾性變形エネルギーを W 、伸張エネルギーを W_e 、曲げのエネルギーを W_b で表わすときは

$$W = W_e + W_b \quad (4.18)$$

であり、従つて今圓筒の長さを L 、その材料のヤング率を E として、(3.14)の w 及び(4.6)の χ を用いて W_e 、 W_b を計算し(但し前に述べた如く、曲率變化における高次の項は省略する)、

$$\left. \begin{aligned} W &= 2\pi a L^{1/2} E t \alpha \cdot \Pi \\ W_e &= 2\pi a L^{1/2} E t \alpha \cdot \Pi_e \\ W_b &= 2\pi a L^{1/2} E t \alpha \cdot \Pi_b \end{aligned} \right\} \quad (4.19)$$

とおくときは

$$\Pi = \Pi_e + \Pi_b \quad (4.20)$$

であり、

$$\Pi_e = \frac{1}{n^4 \alpha} Q + \left(\frac{\sigma}{E \sqrt{\alpha}} \right)^2 = \frac{1}{\eta^2} Q + q^2 \quad (4.21)$$

$$\Pi_b = G g_1^2 + H g_2^2 \quad (4.22)$$

が得られる。こゝに

$$Q = A g_1^4 + B g_1^2 g_2^2 + C g_2^4 - D g_1^2 g_2 \quad (4.23)$$

$$A = (k^4 + 1)/128$$

$$B = k^4 \left[\frac{1}{(k^2 + 1)^2} + \frac{1}{4(9k^2 + 1)^2} + \frac{1}{4(k^2 + 9)^2} \right]$$

$$C = \frac{k^4}{4(k^2 + 1)^2}$$

$$D = \frac{k^4}{(k^2 + 1)^2} + \frac{1}{16} \quad (4.24)$$

$$F = 1/8$$

$$G = (k^2 + 1)^2/4$$

$$H = 2(k^4 + 1)$$

である。

即ち伸張エネルギー W_e は平均應力 q に起因する弾性エネルギー q^2 と q からの變動應力による弾性エネルギー $\frac{1}{\eta^2}Q$ よりなり、曲げエネルギー W_b は波数 n に無関係であることが分る。こゝでも明かな様に圓筒殻が平板と異なる點は Q の中に負の項 $-Dg_1^2 g_2$ が存在することであり、このために與えられた圓筒に對して、 w を與える級數の項數を増す程 g_{ij} を適當に選ぶことによつて Q はますます小さくなり得る。之に對して Π_b はすべて正の項よりなるから、 w の項數を増すほど大きくなる。一方 n が増加すると Π_e は減少し、 q が増加すると Π_e は増加する。結局において W を極小とする様な變形と應力 q が實現されて平衡狀態が成立するのであつて、この場合に上の考察から W_e は可なり小さく W_b と同程度の大きさであると考えられる。即ち圓筒殻の挫屈はエネルギーの立場からも概不伸張變形と見なすことが出来る。

次に平衡狀態を決定するエネルギー極小の條件がこれからわれわれが扱おうとする挫屈問題に對しては特別の注意を必要とするのでそれについて述べる。考ふる状態からの僅かの變化に對して外力のなす仕事は

$$\delta A = 2\pi a t \sigma \cdot L \delta \epsilon = 2\pi a L^{1/2} E t \alpha \cdot (2q \delta e) \quad (4.25)$$

であり、平衡條件は

$$\delta W = \delta A \quad (4.26)$$

によつて與えられる。これはすべての場合に成立つ關係であるが、注意すべきことは、後に明かになる様に、圓筒殻の挫屈の際の荷重～歪曲線は一義的に定まるものでなく、種々の経路を取り得ること、従つてその時の外力のなす仕事も一義的に定まらず、そのポテンシャル

$$V = -2\pi a L \cdot \frac{1}{2} E t \alpha (2q e) \quad (4.27)$$

も存在しないことである。従つてわれわれは q を獨立變數とすることは不合理であり、 e を獨立變數と考えるべきである。實際に(4.18)及び(4.27)より全ポテンシャル・エネルギー $U = W + V$ を求め $\partial U / \partial q = 0$ を計算するときは荷重～歪の關係その他において矛盾した結果が導かれることが分

る。これは簡単なことであるが、これから扱う問題にとっては極めて重要なことである。

以上の考えに従つて(4.10')を(4.21)に入れ、 q を e によつて表わせば

$$\Pi_e = \frac{1}{\eta^2} Q' + e^2 - 2e \frac{k^2}{\eta} \left(\frac{1}{8} g_1^2 + \frac{1}{4} g_2^2 \right) \quad (4.21')$$

但し

$$Q = A'g_1^4 + B'g_1^2g_2^2 + C'g_2^4 - Dg_1^2g_2 + Cg_1^2 + Fg_2^2 \quad (4.28)$$

$$\left. \begin{aligned} A' &= A + k^4/64 \\ B' &= B + k^4/64 \\ C' &= C + k^4/64 \end{aligned} \right\} \quad (4.29)$$

従つて(4.26)即ち

$$q = \frac{\partial \Pi}{\partial e} \quad (4.30)$$

より再び(4.10')が得られる。

e を独立変数と考えるときは、 $e = \text{const}$ 即ち外力の仕事が0である様な条件下にエネルギーの極小を考えればよから平衡の條件は

$$\delta W = 0 \quad (4.31)$$

によつて與えられる。然るに W_e は(4.18)により圓筒のディメンション即ち a 、 L 及び t 並び

に Π によつて定まり

$$\Pi = \Pi(e, \eta(n), k, g_1, g_2) \quad (4.32)$$

と考えられるから、 $e, \eta, k = \text{const}$ の條件の下釣合は任意の圓筒に對して

$$\frac{\partial \Pi}{\partial g_1} = 0, \quad \frac{\partial \Pi}{\partial g_2} = 0 \quad (4.33)$$

即ち

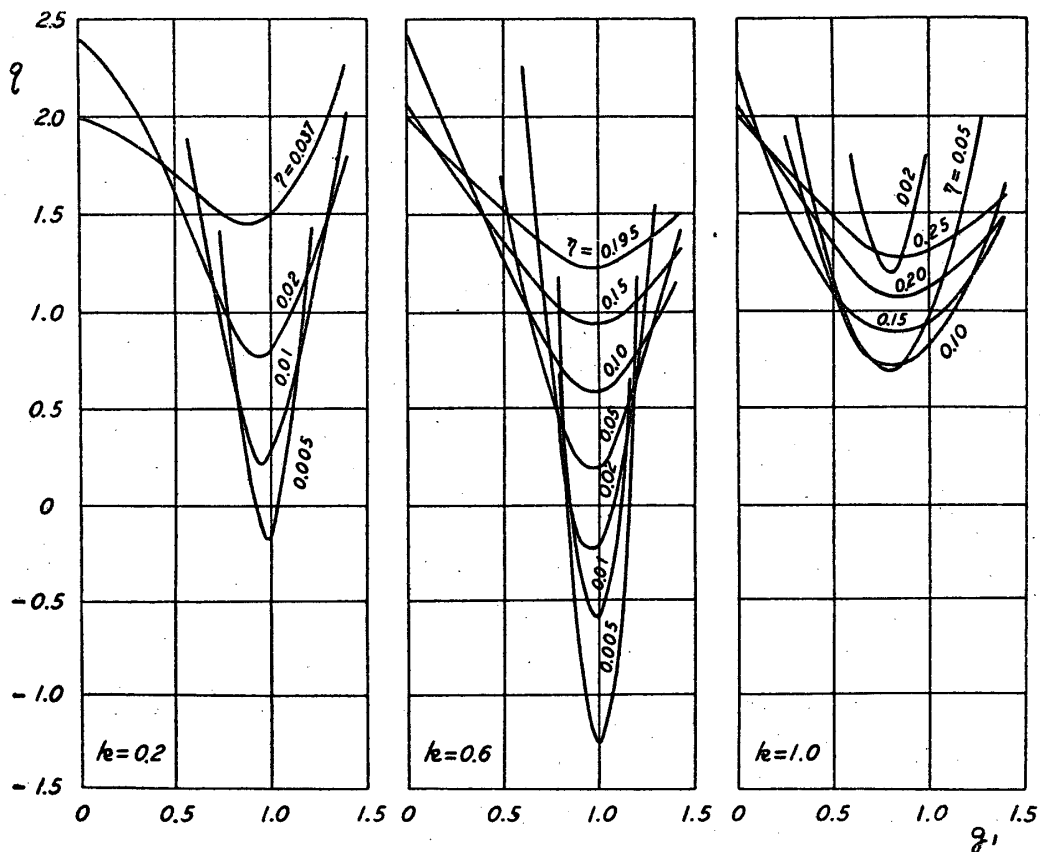
$$\left. \begin{aligned} \frac{1}{\eta^2} \left[4A'g_1^2 + 2B'g_1^2\rho^2 - 2Dg_1\rho + 2C \right] \\ + 2G - \frac{1}{2} e \frac{k^2}{\eta} = 0 \\ \frac{1}{\eta^2} \left[2B'g_1^2\rho + 4C'g_1^2\rho^3 - Dg_1 + 2F\rho \right] \\ + 2H\rho - e \frac{k^2}{\eta} \rho = 0 \end{aligned} \right\} \quad (4.34)$$

$$g_2/g_1 = \rho \quad (4.35)$$

によつて與えられる。これらより e を消去すれば ρ に関する三次式

$$\begin{aligned} 4(B' - C')g_1^2\rho^3 - 4Dg_1\rho^2 \\ + [(8A' - 2B')g_1^2 + 4C - 2F \\ + \eta^2(4G - 2H)]\rho + Dg_1 = 0 \end{aligned} \quad (4.36)$$

が得られる。これから種々の k, η, g_1 の値に對して ρ を解き、その結果を用いて(4.34)の第1



第 6 圖

式より e を求めることが出来、従つて (4.10') により應力 q が決定される。この様にして求めた q の値を、例えば $k=0.2, 0.6, 1.0$ の場合に η をパラメーターとして g_1 に對して示すと第6圖の如くなる。この曲線から平衡状態に對する g_1 の値が定まるわけではないが、 k, η の値の如何にかゝらず曲線が g_1 の値の一定の範囲内に存在して相似形を示すことは (4.8) の假定が合理的であることを示すものである。

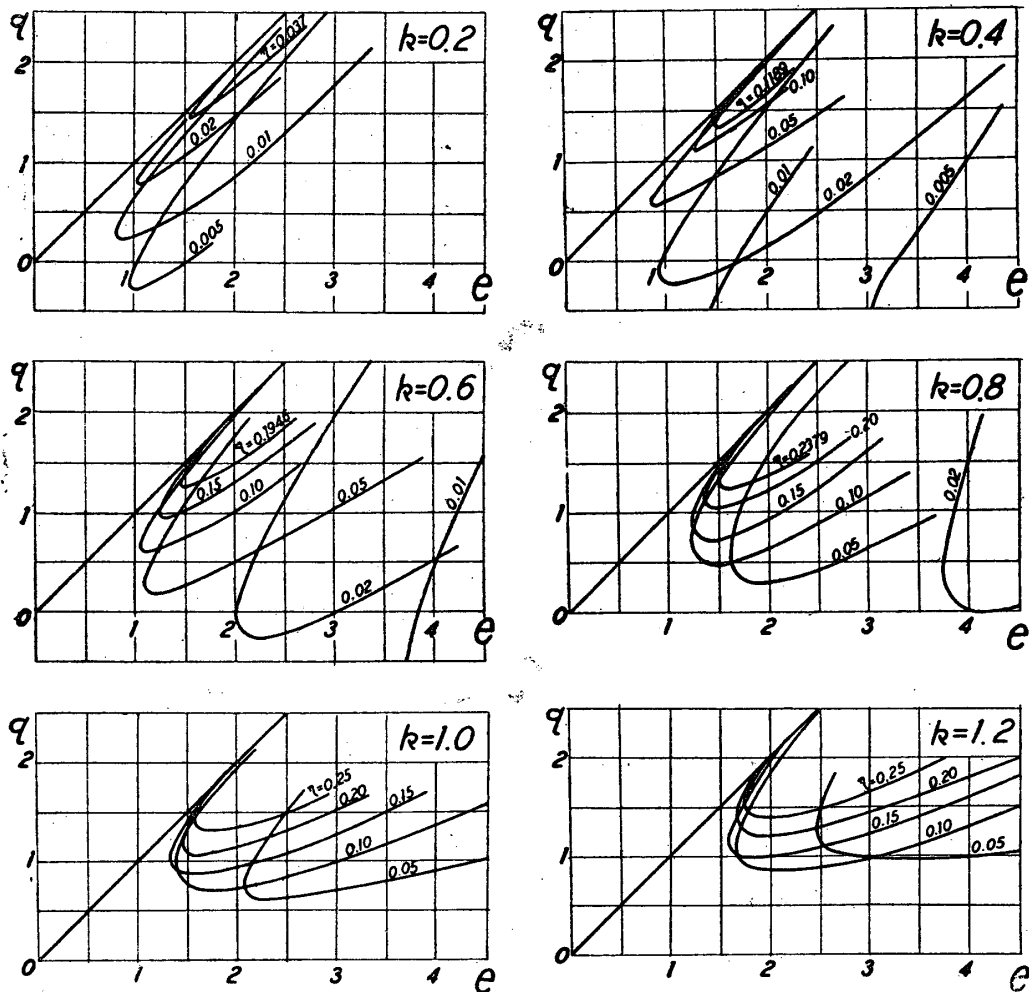
次に $e \sim q$ の関係を k, η をパラメーターとして示すと第7圖のごとくなる。圖より明かに挫屈曲線の分岐點の最小値は k のすべての値に對して線型理論による限界荷重

$$q=2$$

を示す。Th. von Kármán and Hsue-Shen Tsien は $k=1$ と假定して計算し、その結果挫屈後の最小荷重が理論的限界荷重 $q=2$ の約 $1/3$ であること (第7圖 $k=1.0$ の場合参照) から、従來實驗

的に求められている挫屈荷重が理論的限界荷重の20%~50%程度であるという事實を説明した。この説明によれば挫屈荷重はほぼ挫屈後の荷重に等しいこととなり、われわれの實驗結果(第2節)即ち挫屈後の荷重が挫屈荷重(實驗値)の更に $1/2$ 乃至 $1/4$ であるという事實と矛盾するばかりでなく、挫屈後の状態が $e \sim q$ 曲線における q の極小値によつて定まるといふ考えも後に述べる理由により誤れるものである。又 $k=1.0$ という假定も實驗的にそれに近い場合が多いだけであつて、實驗の條件によつて變化するものである。

第7圖から明かな様に、一定の k に對する η をパラメーターとする曲線群の包絡線によつて表わされる荷重は k が減少すると共に減少し、 $k=0.2$ と 0.4 との間で弱い極小を示すようであり、且つ絶対値の極めて大きな負の値を示す。従つて q の小さい値程實現され易いと考えるならば、挫屈は引張荷重によつておこるといふ不合理を生ずる。これは上の計算が $k, \eta = \text{const}$ の條件

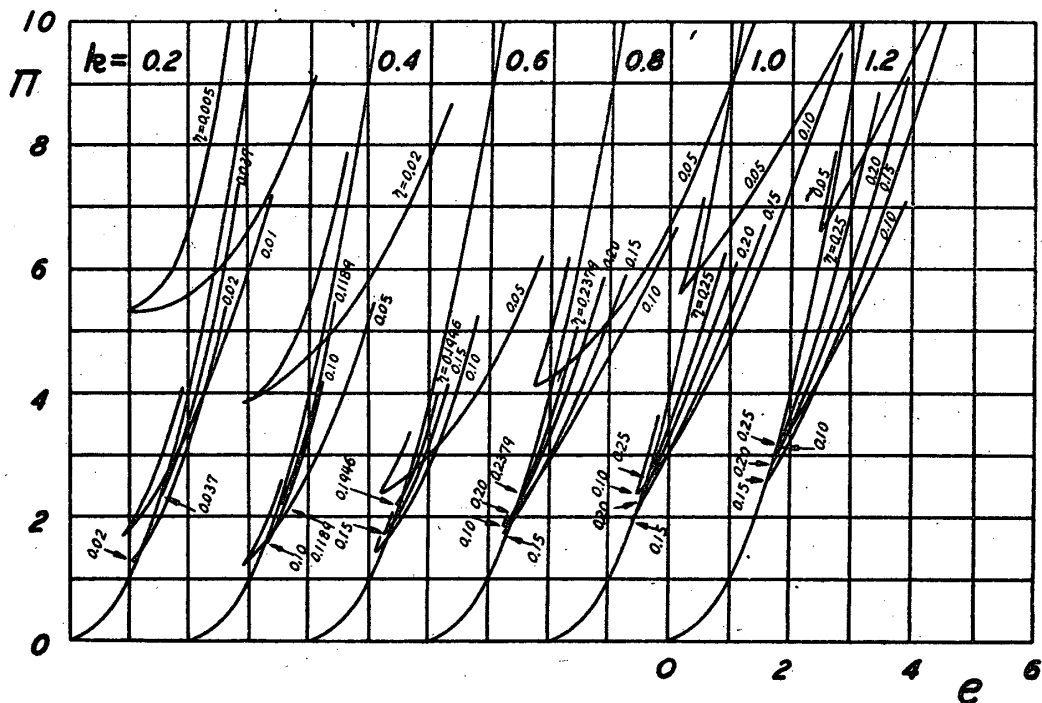


第 7 圖

の下の $\Pi = \min$ を與えるもので、 $\Pi(e, \eta, k, g_1, g_2)$ の各變數に對する極小を與えるものでないからである。換言すれば、 q が負になるということは、與えられた全體の縮み e よりも挫屈波形による縮み (4.17) が大きくなることを意味し、その結果伸張エネルギー Π_0 が増加し、その様な状態に對しては Π が極小とならないことによるものである。

上に述べた様に、挫屈後の状態を決定するには $\Pi(e, \eta, k, g_1, g_2)$ なる超曲面の極小値に對する e, η, k, g_1, g_2 従つて q の値を決定する必要がある、そのためには Π の $\eta, k = \text{const}$ なる断面における極小値の更に η, k に對する極小値を調べればよい。そのために k, η をパラメーターとして、 ρ の計算値、第 6 圖、第 7 圖をもとにして Π を計算したものが第 8 圖である。従つてこの様にして計算された Π の値は各断面におけるエネルギー Π の極小値を與えるものである。圖中の原点から出る拋物線は第 7 圖における直線 $q=e$ に對應し、挫屈しないとした場合のエネル

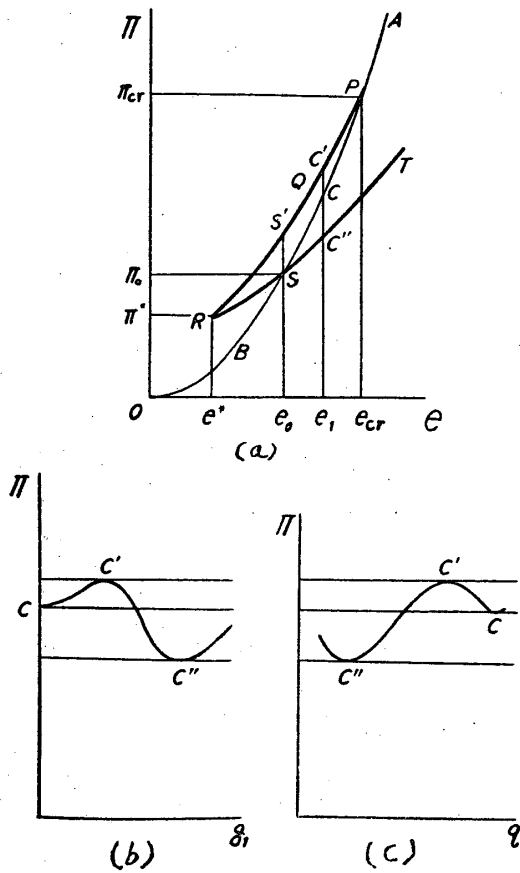
ギー q^2 を與える。挫屈後の各曲線が如何なる性質のものかを明かにするために、今その中から考うる η, k に對する曲線を取り出して考ふる (第 9 圖 (a)). この曲線は與えられた η, k によつて定まる限界歪 e_{cr} (理論的限界荷重 q_{cr} に對する縮み e の値) に對する拋物線 OBA' 上の點 P から出發して、挫屈しない場合よりもエネルギーの大きな状態 Q を經て、 R に於いて最小の $e=e^*$ 及び $q=q^*$ に達し、 $S(e=e_0, q=q_0)$ において OBA' と交り、 ST の範圍では上記エネルギーよりも小さなエネルギーをもつ。而して P においては $g_1=0$ であり、 Q, R, S, T と進むに従つて g_1 の値即ち挫屈による撓みが増加する。 $e < e^*$ では挫屈は不可能であるが、 $e^* \leq e < e_0$ では外からエネルギーを供給すれば挫屈せしめることが不可能ではない。 $e \geq e_0$ では挫屈前よりも挫屈後のエネルギーが小さくなるので挫屈可能であるが、そのためには一定のエネルギーの山を飛び越えなければならない。例えば圖において $e=e_1$ では挫屈して C から C' の状態に移るためには CC' に相



第 8 圖

當するエネルギー障壁を越えなければならない。この過程を分りやすくするために、 g_1 或いは q に對して Π を畫けば第 9 圖 (b), (c) の如くなる。以上を要約すれば次のことが結論出来るであらう。即ち、

- (1) 挫屈の可能性は $e \geq e_0$ なること。即ち e_0 が小さい程挫屈し得る荷重が小さい。
- (2) 挫屈をおこす確率或いは挫屈し易さともいふべき量はエネルギー障壁 CC' が小さい程大きい。

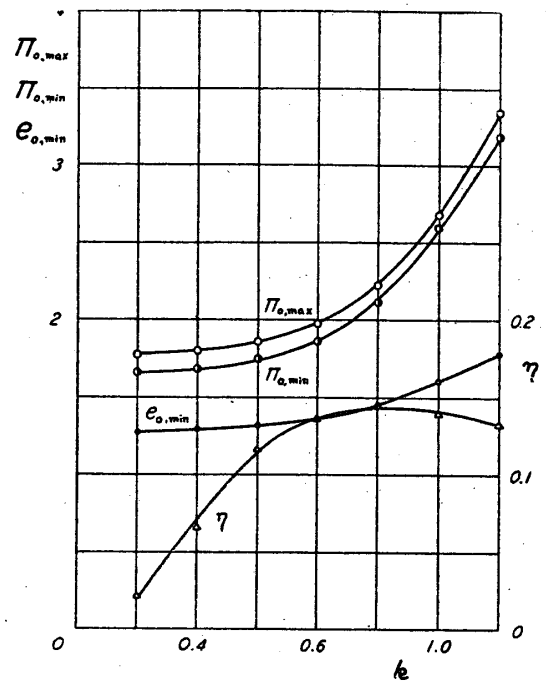


第 9 圖

(3) 挫屈した後如何なる状態が實現されるかということは、 C'' に相當するエネルギーが最小になる様な k, η, q の値によつて決定される。

尙 e_0 に対する g_1, g_2 の値は k, η の如何に拘らず殆ど一定していることが第 8 圖より導かれるのであつて、これは最初の假定 (4.8) が妥當であることを示すものとして注目される。

この考えの下に第 8 圖を見るときは、 $k = \text{const}$ に対しては e_0 の値は η が減少するに従つて最初減少し、或る η に対して極小となり、次に増加する。この $k = \text{const}$ に対する e_0 の極小値を $e_{0, \min}$ と記せば、 $e_{0, \min}$ 及びそれに対する S, S' に相當するエネルギー値 $\Pi_{0, \min}, \Pi_{0, \max}$ 並びに η の値は k と共に變化し、その有様を第 10 圖に示す。これによれば $\Pi_{0, \min}$ は k が減少すると共に下つてゐるが、 $k = 0.2$ 附近において極めてゆるやかな極小が存在する様であり、そこでの η は約 0.02、 $e_{0, \min}$ は約 1.3 である。従つてそのときの挫屈荷重は $q = 1.3$ であり、挫屈後は第 7 圖より推定すれば ($e = e_{0, \min, \min}$ の挫屈であるから) $q = 0.9$ である。而してこの際は挫屈直前と直後のエネルギーは等しいが、挫屈に



第 10 圖

際して飛越えるべきエネルギー障壁は 0.14 程度で、挫屈直前のエネルギーの十數分の一に相當する。これは最小の挫屈荷重であり、一般には $q \geq 1.3$ において挫屈し、挫屈荷重が大きくなる程エネルギー障壁の値は小さく、従つて挫屈し易く、又挫屈前後のエネルギーの値の差が大きくなる。従つて挫屈に際して生ずる音や振動等も大きくなる。實際に最小挫屈荷重以上の如何なる荷重で挫屈するかは圓筒の初期歪、實驗の條件等によつてきまるものであろう。而して $e = \text{const} > 1.3$ なる一定の e の下ではエネルギーの極小値に対する k の値は少々増加し、それに伴つて η の値も少々大きくなる。即ち挫屈荷重が最小挫屈荷重よりも大きくなる程、挫屈後の波形は軸方向の細長さを減じ、その圓周方向の數が増す傾向にある。又その時の荷重は第 7 圖から求められる。

結局この様な考察から、定量的なことはともかくとして、最小挫屈荷重なるものが存在し、實際の挫屈はそれ以上の荷重において生ずること、挫屈後の状態はその場合の e における最小エネルギーに対する k, η (第 10 圖に準じた圖) 及び q (第 7 圖) によつて決定されることが導かれる。併し一定の e に対するエネルギー分布は極めてゆるやかな極小を示すので、挫屈後の状態は鋭く定まるものではなく、或る範囲に散在する可能性がある。而して何れにしてもこの様な全般的挫屈

の場合の波形は軸方向に極めて細長い。

われわれの實驗では、前述のごとく、多くの場合軸方向には1.5波長の範圍が局所的に挫屈したに過ぎないので、この様な全般的挫屈の場合の計算結果を適用することは出来ない(k の値から見てもそうである)が、若し假りに1.5波長に相當する長さの圓筒について、 $e = \text{const}$ の條件の下に實驗するならば、本節に述べた様な結果が定性的に實現されるものと考えてよいであろう。

5. 局所的挫屈

前節の結果によれば、挫屈後實現される状態が如何なるものであるにせよ、挫屈に際して荷重が急激に下り歪によるその増加率が極めて小さい範圍の存在することが第7圖によつて明かである。この様な性質の荷重曲線に對しては變形が傳播することなく一個所に局限せられ、その變形がある程度發達してから順次隣接せる部分に擴つてゆくことは理論的にも當然なことである。第3節で述べた局所的挫屈の發生の理由はこれによつても想像がつくであろうが、本節ではこれを前節の結果を基礎としてエネルギーの立場から考えて見る。

今圓筒を挫屈した部分としない部分とに分けて

	挫屈しない部分	挫屈した部分	圓筒全體
長さ	L_1	L_2	L
平均壓縮應力	σ_1	σ_2	σ
縮み	ϵ_1'	ϵ_2'	ϵ'
弾性エネルギー	W_1'	W_2'	W'

とすれば(全般的挫屈の場合と區別するために“'”をつけて表わす)、

$$L = L_1 + L_2 \quad (5.1)$$

$$\sigma = \sigma_1 = \sigma_2 = \sigma \quad (5.2)$$

$$\sigma = \sigma_1 = E\epsilon_1' \quad (5.3)$$

$$W' = W_1' + W_2' \quad (5.4)$$

$$L\epsilon' = L_1\epsilon_1' + L_2\epsilon_2' \quad (5.5)$$

が成立つ。 ϵ' , ϵ_1' , ϵ_2' の代りに

$$\epsilon' = \frac{\epsilon'}{\sqrt{\alpha}}, \quad \epsilon_1' = \frac{\epsilon_1'}{\sqrt{\alpha}}, \quad \epsilon_2' = \frac{\epsilon_2'}{\sqrt{\alpha}} \quad (5.6)$$

を用いれば(5.5)は

$$L\epsilon' = L_1\epsilon_1' + L_2\epsilon_2' \quad (5.5')$$

と書かれ、 ϵ_1' は(5.3)、 ϵ_2' は(4.10')により

$$\epsilon' = q + \frac{L_2}{L} \frac{k^2}{\eta} \left(\frac{1}{8} g_1^2 + \frac{1}{4} g_2^2 \right) \quad (5.7)$$

が導かれる。即ち全體の縮み ϵ' は n , k , g_1 , g_2 のみならず、圓筒の長さ L と挫屈した部分の長さ L_2 との比にもよることが分る。前述の如く

$$L_2 = 1.5 (2l_x) \quad (5.8)$$

と假定してよいか(3.6)及び(3.13)により

$$L_2 = 3\pi a / (nk) \quad (5.9)$$

故に(5.7)は

$$\epsilon' = q + \frac{3\pi a}{Lnk} \frac{k^2}{\eta} \left(\frac{1}{8} g_1^2 + \frac{1}{4} g_2^2 \right) \quad (5.10)$$

となり、第1項は挫屈しないと假定した場合の弾性的歪による縮みを表わし、これは全般的挫屈の場合と同様であるが、第2項は局所的挫屈波形による幾何學的縮みを表わし、全般的挫屈の場合と異り、 k 及び a^2 に比例し、 n^3 , l 及び L に逆比例する。

次に全體の變形エネルギーは挫屈しない部分の變形エネルギー

$$W_1' = 2\pi a t \cdot L_1 \frac{1}{2} E\epsilon_1'^2 = 2\pi a L_1 \frac{Et}{2} \alpha \cdot q^2 \quad (5.11)$$

と挫屈した部分の變形エネルギー

$$W_2' = \frac{L_2}{L} W \quad (5.12)$$

との和である。但し W は(4.18), (4.19), (4.20), (4.21)及び(4.22)によつて與えられる。従つて

$$\left. \begin{aligned} W' &= 2\pi a L \cdot \left(\frac{1}{2}\right) Et\alpha \cdot II' \\ W_1' &= 2\pi a L \cdot \left(\frac{1}{2}\right) Et\alpha \cdot II_1' \\ W_2' &= 2\pi a L \cdot \left(\frac{1}{2}\right) Et\alpha \cdot II_2' \end{aligned} \right\} \quad (5.13)$$

とおくときは

$$\left. \begin{aligned} II_1' &= (L_1/L) q^2 \\ II_2' &= \frac{L_2}{L} \left[\frac{1}{\eta^2} Q + q^2 + (Gg_1^2 + Hg_2^2) \right] \end{aligned} \right\} \quad (5.14)$$

となり、(5.9)により

$$II' = II_1' + II_2' = \frac{3\pi a}{Lnk} \left[\frac{1}{\eta^2} Q + (Gg_1^2 + Hg_2^2) \right] + q^2 \quad (5.15)$$

が得られる。こゝでも前に述べた様に ϵ' を獨立變數とすべきであるから(5.10)により(5.15)は

$$II' = \frac{3\pi a}{Lnk} \left[\frac{1}{\eta^2} Q' + (Gg_1^2 + Hg_2^2) \right]$$

$$+e'^2 - 2e' \frac{3\pi a}{Lnk} \frac{k^2}{\eta} \left(\frac{1}{8} g_1^2 + \frac{1}{4} g_2^2 \right) \quad (5.16)$$

の如く書き換えられる。こゝに

$$Q'' = A'' g_1^4 + B'' g_2^2 g_1^2 + C'' g_2^4 - D g_1^2 g_2 + C g_1^2 + F g_2^2 \quad (5.17)$$

$$\left. \begin{aligned} A'' &= A + [3\pi a / (Lnk)] (k^4/64) \\ B'' &= B + [3\pi a / (Lnk)] (k^4/64) \\ C'' &= C + [3\pi a / (Lnk)] (k^4/64) \end{aligned} \right\} \quad (5.18)$$

である。

前節と同様に $e', \eta, k = \text{const.}$ の下の $W' = \min.$ の条件は

$$\partial W' / \partial g_1 = 0, \quad \partial W' / \partial g_2 = 0$$

即ち

$$\left. \begin{aligned} \frac{1}{\eta^2} \left[4A'' g_1^2 + 2B'' g_1^2 \rho^2 - 2D g_1 \rho + 2C \right] \\ + 2G - \frac{e'}{2} \frac{k^2}{\eta} = 0 \\ \frac{1}{\eta^2} \left[2B'' g_1^2 \rho + 4C'' g_1^2 \rho^3 - D g_1 + 2F \rho \right] \\ + 2H \rho - e' \frac{k^2}{\eta} \rho = 0 \end{aligned} \right\} \quad (5.19)$$

によつて與えられ、(5.19) より e' を消去すれば ρ に関する三次方程式

$$4(B'' - C'') g_1^2 \rho^3 - 4D g_1 \rho^2 + [(8A'' - 2B'') g_1^2 + 4C - 2F] \rho + \eta^2 (4G - 2H) \rho + D g_1 = 0 \quad (5.20)$$

が得られる。(5.17) 及び (4.29) により

$$\left. \begin{aligned} B'' - C'' &= B' - C' = B - C \\ 8A'' - 2B'' &= 8A' - 2B' = 8A - 2B \end{aligned} \right\} \quad (5.26)$$

であるから (5.20) は全般的挫屈の場合の (4.36) と全く同一の式となり、従つて全般的挫屈の場合の g_1, ρ, η に関する計算結果をそのまま用うことが出来る。この結果を用いて (5.19) の第1式より e' を求めれば、(4.34) の第1式より求めた e と比較することにより、

$$e' = e + \left(\frac{3\pi a}{Lnk} - 1 \right) \frac{k^2}{\eta} \left(\frac{1}{8} g_1^2 + \frac{1}{4} g_2^2 \right) \quad (5.21)$$

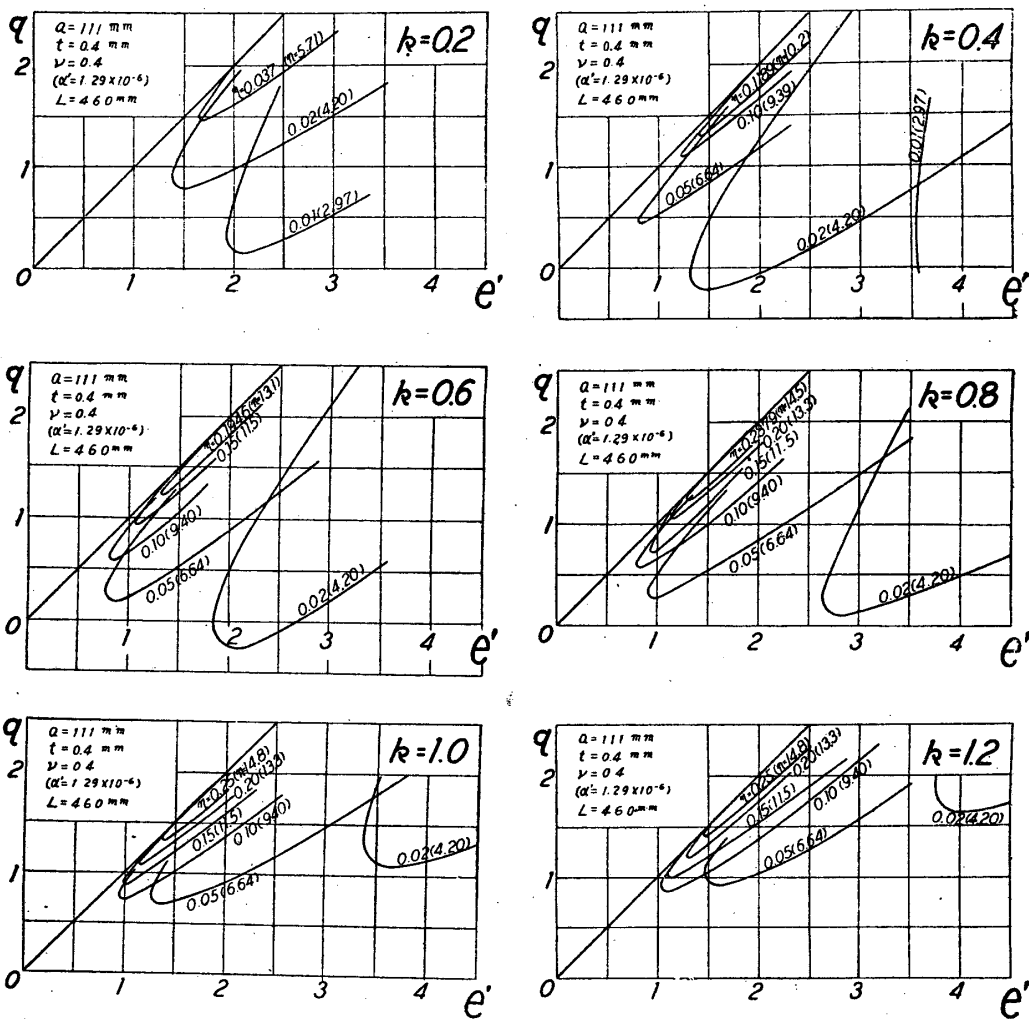
が得られる。従つて (4.10') の q を用えば (5.10) と全く同一の式が導かれ、全般的挫屈の場合の q と局所的挫屈の場合の q とは全く同一の値を有することが分る。従つてわれわれは局所的挫屈の場合の計算を $e' = \text{const.}$ の条件の下にやり直す必要はなく、全般的挫屈の場合の計算結果をもと

して、 g_1, g_2 に対するエネルギーの極小条件を満足するところの e' を (5.10) により、 W' を (5.15) により計算することが出来る。こゝで全般的挫屈と異なる點は、局所的挫屈においては圓筒のディメンション a, L, t 及びポアッソン比 ν 、従つて n の値をそれぞれ與える必要のあることである。

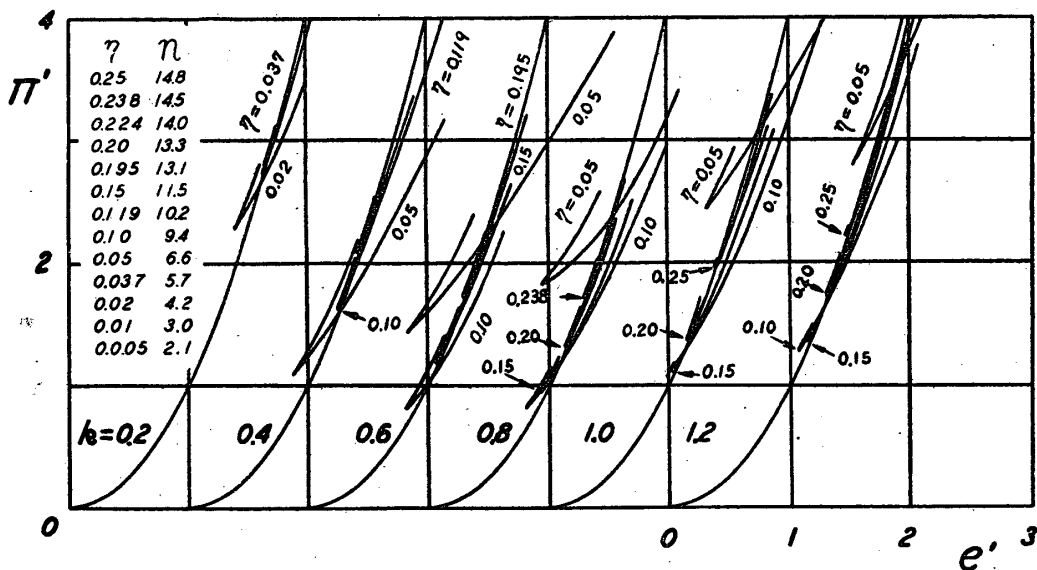
實驗に供した圓筒の値 $a = 111 \text{mm.}, L = 460 \text{mm.}, t = 0.4 \text{mm.}, \nu = 0.4$ を用いて上記の手續きにより計算した $e' \sim q$ 及び $e' \sim W'$ の關係を第11圖及び第12圖に示した。第12圖の拋物線は挫屈しないと假定した場合のエネルギー曲線 $W' = e'^2$ で、それと k 及び η 或いは n を與えた場合の挫屈後のエネルギー曲線との交點に對する e', W' の値を夫々 e'_0, W'_0 、 k を一定した場合の e'_0, W'_0 の極小値を夫々 $e'_{0, \min.}, W'_{0, \min.}$ 、且つ $e'_{0, \min.}$ に對する W' の山の値を $W'_{0, \max.}$ と記せば、 k に對するそれらの變化の状態及びその時の η 又は n の値は第13圖によつて表わされる。これによれば $e'_{0, \min.}$ 及び $W'_{0, \min.}$ の極小値は明かに $k = 0.7$ 附近に存在し、その極小値は $e'_{0, \min.} = 1.04$ であり、そのときの η の値は約 0.10、従つて $n = 9.40$ である。尙 $e' = 1.04, k = 0.7, \eta = 0.10$ における挫屈後の荷重は第11圖より約 $q = 0.7$ であり、エネルギー障壁 $W'_{0, \max.} - W'_{0, \min.}$ は約 0.07 であることが分る。 $q = e'_{0, \min.} = 1.04$ はこの場合の最小挫屈荷重を與えるもので、一般にはこれよりも稍々大きな荷重に達したときに挫屈し、その場合の挫屈後の状態はその様な挫屈荷重即ち e' に對する挫屈後のエネルギー極小の条件より決定されるものであるが、その状態は第13圖におけるエネルギー極小の状態と大差ないものである。

尙第10圖と第13圖を比較すれば局所的挫屈の場合の極小エネルギー $W'_{0, \min.}$ は全般的挫屈の場合の極少エネルギー $W_{0, \min.}$ よりはるかに小さく、局所的挫屈の方が生じ易いことを示す。又 $W'_{0, \min.}$ の曲線は $W_{0, \min.}$ の曲線よりも鋭い極小値を示すので局所的挫屈の場合の挫屈後の状態は全般的挫屈の場合の挫屈後の状態の様に散在することがないであろう。

以上の計算は $e' = \text{const.}$ という條件を假定して居り、われわれの實驗はすべてバネによつて負荷したためこの様な理想的な状態を實現し得なかつ



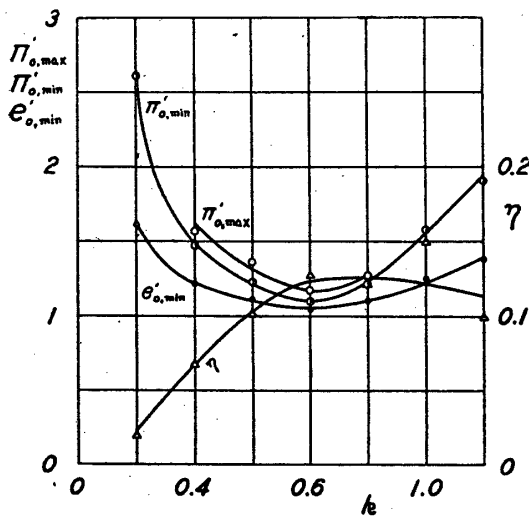
第 11 圖



第 12 圖

たが、實驗 1 (第 2 圖) は極めてこの條件に近いものと考えて差支えない。従つてこの場合の實驗結果を計算値と比較したものを第 1 表に示す。これによれば k の値は兩者略々一致するが、挫屈

荷重、挫屈後の荷重及び波數 n は何れも計算値が實驗値よりも少々大きくなつてゐる。併しこの程度の量的相違は現在の近似計算の結果としてはむしろ満足すべきものと言わなければならない。



第 13 圖

6. 弾性をもつ負荷装置による局所的挫屈

前節までは壓縮端の變位一定、即ち $e, e' = \text{const}$ の場合を考えたのであるが、この様な状態を完全に實現することは通常の試験機においては不可能である。バネ、油壓或いは重錘等におけるごとく負荷装置の荷重點が荷重によつて變位する場合は勿論であるが、そうでない場合においても試験機を構成する物質が剛體でない以上負荷装置乃至は試験機による變形エネルギーの吸収はまぬがれ得ないものである。而してこのエネルギーは一定の荷重に對しては剛性が小さい程大きいのであつて、このエネルギーの外部及び試験圓筒との間の受授が挫屈現象に何等かの影響を及ぼすことは必然の結果であらう。本節ではこの様な負荷装置及び試験機の剛性をバネによつて代表した場合を解析し、實驗結果と比較して見たい。

この場合も圓筒は前節と同様に局所的挫屈を行うものとし、圓筒の單位長さ當りの縮みを前の局所的挫屈の場合と同様に e' ($e' = e'/\sqrt{\alpha}$)、バネの長さを L_s 、單位長さ當りの縮みを ϵ_s 、バネと圓筒とを含んだ全體系の長さを L_t 、縮みを ϵ_t ($\epsilon_t = \epsilon_t/\sqrt{\alpha}$) とすれば、

$$L_t = L + L_s \quad (6.1)$$

$$L_t \epsilon_t = L e' + L_s \epsilon_s \quad (6.2)$$

バネの剛性を E_s とすれば、その受持つ荷重 $P = E_s \epsilon_s$ は圓筒に作用する外力 $P = 2\pi a t \sigma$ に等しく

$$\epsilon_s = 2\pi a t \sigma / E_s \quad (6.3)$$

である。 e' は (5.10) の兩邊に $\sqrt{\alpha}$ を乗じた式によつて與えられるから (6.2) に (6.3) 及び

この e' を入れて $\sqrt{\alpha}$ で割れば

$$\frac{L_t}{L} e_t = \left(1 + \frac{L_s 2\pi a t E}{L E_s}\right) q + \frac{3\pi a k^2}{L n k \eta} \left(\frac{1}{8} g_1^2 + \frac{1}{4} g_2^2\right) \quad (6.4)$$

を得る。即ち全體の縮みがバネによる縮みの部分 $(L_s/L)(2\pi a t E/E_s)q$ と圓筒の縮み e' とからなることが分る。 $E_s \rightarrow \infty$ のときは (6.5) は 0 となり (6.4) はバネのない場合の式 (5.10) に一致する。

バネの弾性エネルギー W_s は

$$W_s = \frac{1}{2} L_s E_s \epsilon_s^2$$

従つて

$$W_s = 2\pi a L (\frac{1}{2}) E t \alpha \cdot \Pi_s \quad (6.6)$$

とおくときは

$$\Pi_s = (L_s/L)(2\pi a t E/E_s)q^2 \quad (6.7)$$

によつて與えられ、圓筒の弾性エネルギーは (5.13) 及び (5.15) によつて與えられるから、それ等の和であるところの全體系の弾性變形エネルギーは

$$W'' = 2\pi a L (\frac{1}{2}) E t \alpha \cdot \Pi'' \quad (6.8)$$

$$\Pi'' = \frac{3\pi a}{L n k} \left[\frac{1}{\eta^2} Q + (G g_1^2 + H g_2^2) \right] + \left(1 + \frac{L_s 2\pi a t E}{L E_s}\right) q^2 \quad (6.9)$$

によつて與えられる。即ちバネの變形エネルギーの項 $(L_s/L)(2\pi a t E/E_s)q^2$ は L_s が大きく、 E_s が小さいほど大きい。

この場合の挫屈は、全般的挫屈において e を一定、局所的挫屈において e' を一定と考えたのと同様に全體系の縮み $e_t = \text{const}$ の條件の下に考えなければならない。そのためには獨立變數を e_t とする必要がある、(6.4) の q を (6.9) に入れて

$$\begin{aligned} \Pi'' = & \frac{3\pi a}{L n k} \left[\frac{1}{\eta^2} Q''' + (G g_1^2 + H g_2^2) \right] \\ & + \frac{1}{1 + \frac{L_s 2\pi a t E}{L E_s}} \left[\left(\frac{L_t}{L} e_t \right)^2 \right. \\ & \left. - 2 \frac{L_t}{L} e_t \frac{3\pi a k^2}{L n k \eta} \left(\frac{1}{8} g_1^2 + \frac{1}{4} g_2^2 \right) \right] \quad (6.10) \end{aligned}$$

$$\begin{aligned} Q''' = & A''' g_1^4 + B''' g_1^2 g_2^2 + C''' g_2^4 \\ & - D g_1^2 g_2 + C g_1^2 + F g_2^2 \quad (6.11) \end{aligned}$$

$$\left. \begin{aligned} A''' &= A + \frac{3\pi a(Lnk)}{1 + \frac{L_s 2\pi a k E}{L E_s}} \cdot \frac{k^4}{64} \\ B''' &= B + \frac{3\pi a(Lnk)}{1 + \frac{L_s 2\pi a k E}{L E_s}} \cdot \frac{k^4}{16} \\ C''' &= C + \frac{3\pi a(Lnk)}{1 + \frac{L_s 2\pi a k E}{L E_s}} \cdot \frac{k^4}{16} \end{aligned} \right\} (6.12)$$

を得る。従つて $e_t = \text{const.}$ の条件の下に, n, k を與えれば平衡条件は

$$\partial \Pi'' / \partial g_1 = 0, \quad \partial \Pi'' / \partial g_2 = 0$$

即ち

$$\left. \begin{aligned} \frac{1}{\eta^2} \left[4A''' g_1^2 + 2B''' g_1^2 \rho^2 - 2Dg_1 \rho + 2C \right] \\ - \frac{1}{2} \frac{(L_t/L)e_t}{1 + (L_s/L)(2\pi a k E/E_s)} \cdot \frac{k^2}{\eta} + 2G = 0 \\ \frac{1}{\eta^2} \left[2B''' g_1^2 \rho + 4C''' g_1^2 \rho^3 - Dg_1 + 2F\rho \right] \\ - \frac{(L_t/L)e_t}{1 + (L_s/L)(2\pi a k E/E_s)} \cdot \frac{k^2}{\eta} \rho + 2H\rho = 0 \end{aligned} \right\} (6.13)$$

によつて與えられ, これより e_t を消去して(6.12)を用いれば(4.36)及び(5.20)と全く同じ ρ に関する三次方程式を得る。従つて g_1, η, k, ρ の値は第4節の場合をそのまま用うことが出来る。従つて本節の計算過程から q は第5節即ち第4節の q と全く同じ値を有することが證明出来, エ

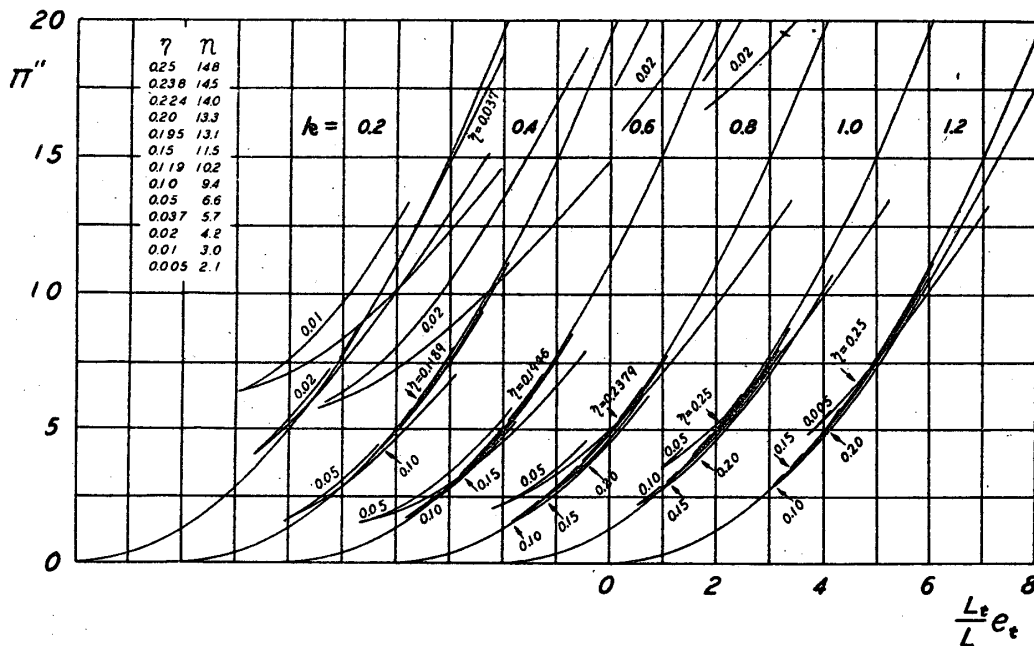
ネルギーの計算には(6.10)を用いることなく, 第5節の結果を基礎として(6.9)を用うのが簡単である。同様に e_t を計算するには(6.13)による必要がなく, 前節の結果から(6.4)によつて計算すればよい。

この様にして前節と同じ圓筒について, 實驗2及び3に用いた二つのバネに對してエネルギー及び縮みの計算を行つた。第14圖及び第15圖は實驗2の $L_s = 46\text{mm}$, $E_s = 3,680\text{kg}$ なるバネに對する $\Pi'' \sim (L_t/L)e_t$ 及び $\Pi'' \sim e'$ の關係を, 第16圖及び第17圖は $L_s = 43\text{mm}$, $E_s = 1,160\text{kg}$ (實驗3)のバネに對する $\Pi'' \sim (L_t/L)e_t$ 及び $\Pi'' \sim e'$ の關係を示す。圖の原点より出る拋物線は何れも圓筒が挫屈しないとした場合, 即ち $g_1, g_2 = 0$ に對するエネルギー曲線

$$\left. \begin{aligned} \Pi'' &= [1 + (L_s/L) 2\pi a k E/E_s] q^2 \\ (L_t/L)e_t &= [1 + (L_s/L) 2\pi a k E/E_s] q \\ \Pi'' &= [1 + (L_s/L) 2\pi a k E/E_s] q^2 \\ e' &= q \end{aligned} \right\}$$

である。最小挫屈荷重は第14圖及び第16圖におけるこの拋物線と挫屈後のエネルギー曲線との交點に對する e_t の値 $e_{t,0}$ の k, η に関する極小値 $e_{t,0, \min}$ に對應する e' の値によつて與えられる。

われわれの實驗では挫屈前後における e_t は不變であるから, 挫屈荷重及び挫屈後の状態はこれ

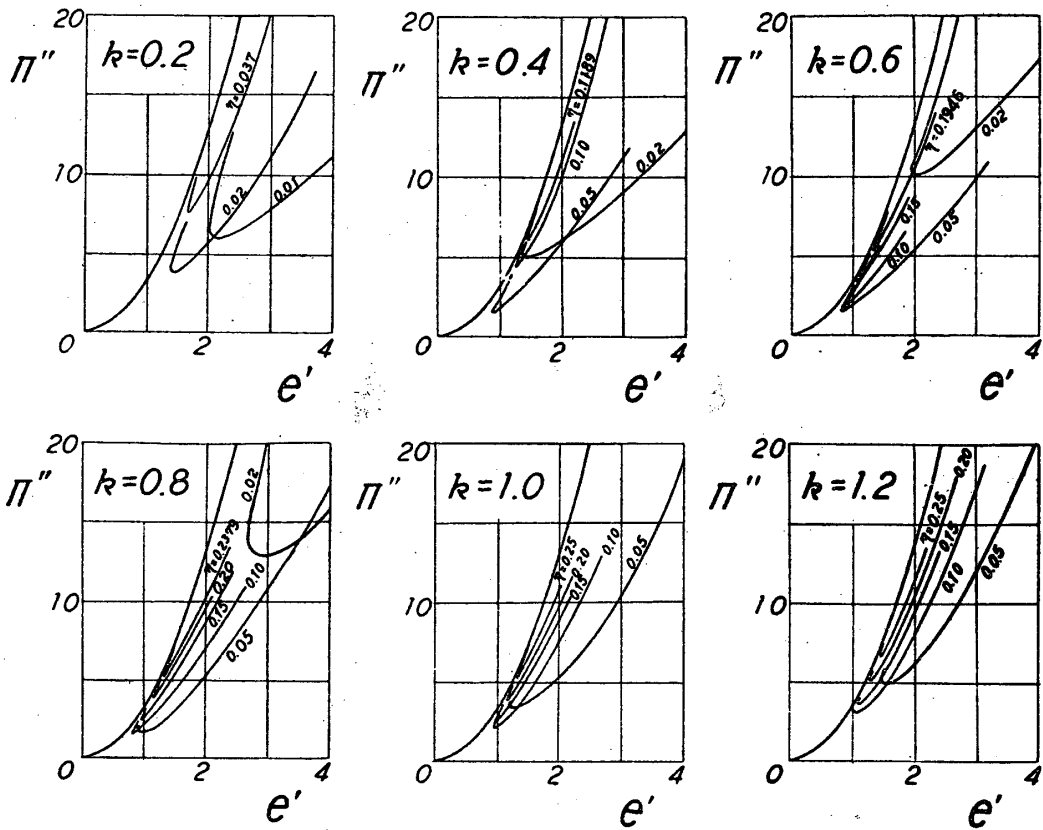


第 14 圖

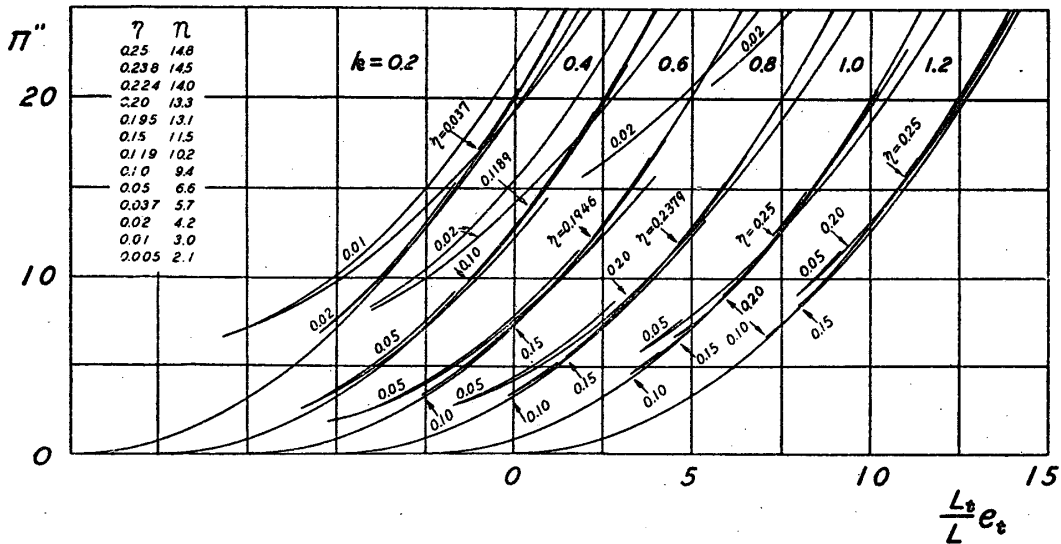
らのエネルギー線圖を $e_t = \text{const.}$ の下に考えることによつて決定される。即ち第 14 圖或いは第 16 圖において $e_{t,0, \min, \min}$ 以上の e_t の値を考えるならば、それに対する拋物線上の點が定まり、従つて第 15, 第 17 圖からそれに対する e' 即ち挫屈荷重 q が定まる。又挫屈後の状態は與えられた e_t に対して最小のエネルギーを示す様な $k, \eta(\eta)$ 及び Π'' の値が第 14, 第 16 圖より定まり、そ

れに対する e' の値が第 15, 第 17 圖より定まる。従つて圓筒が與えられればバネの種類の如何にかゝらず第 11 圖によつてこの様にして得られた k, η 及び e' に対する q 即ち挫屈後の荷重が定まる。

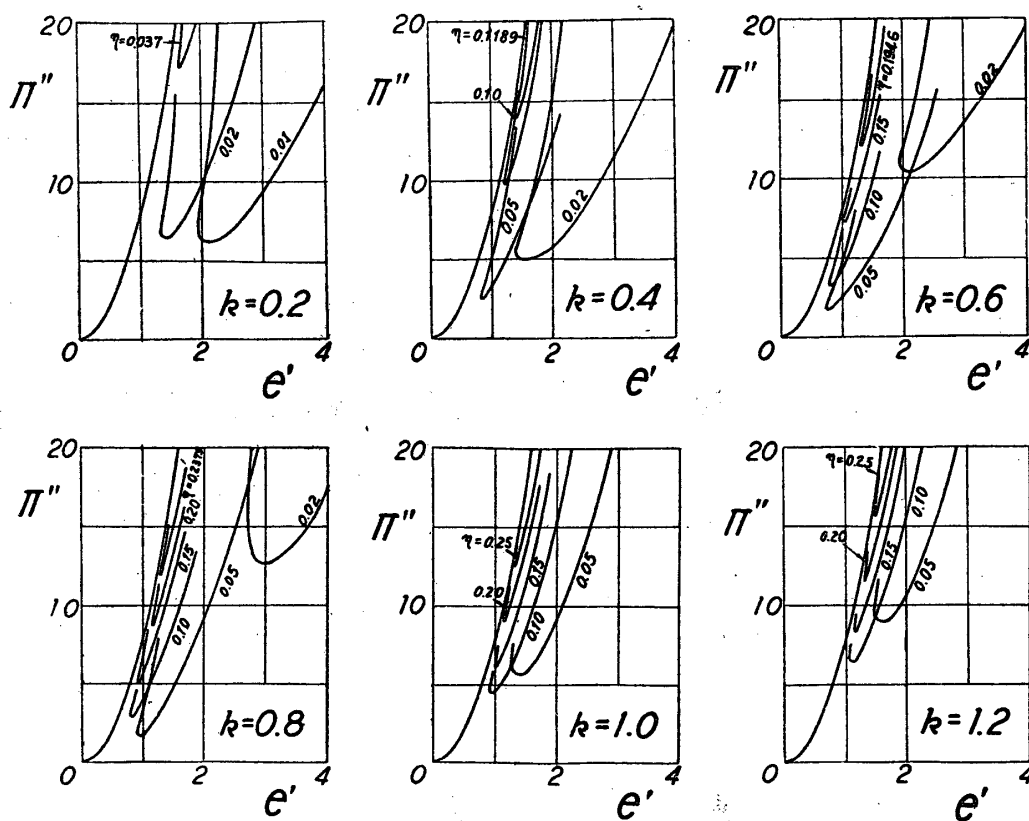
これらの圖から實驗 2 及び 3 のバネの場合に對する最小挫屈荷重及びそれに対するエネルギー障壁並びに挫屈後の諸量を求め、實驗値と比較す



第 15 圖



第 16 圖



第 17 圖

第 1 表

		全般的挫屈	局所的挫屈 實驗 1	バネによる局所的挫屈 實驗 2 實驗 3	
最小挫屈荷重 (q)	計算値	1.3	1.04	0.80	0.80
	實驗値		0.8	0.76	0.72
エネルギー障壁 (Π, Π', Π'')		0.14	0.07	0.20	0.10
挫屈後の 状態	荷重 (q)	計算値 實驗値	0.9 0.4	0.55 0.24	0.70 0.22
	k	計算値 實驗値	0.2 0.64~0.68	0.75 0.93	0.80 0.95
	η (n)	計算値 實驗値	0.02 6~7	0.085(8.6) 6	0.085(8.6) 5
	e'	計算値 實驗値		1.0 3.2	1.25 4.4

れば第1表の如くである。こゝで挫屈荷重の計算値と實驗値とを比較して見ると、最小挫屈荷重が實驗 2, 3 の場合に等しいにも拘らず實驗の挫屈荷重は實驗 2 より 3 の方が小さい。これはエネルギー障壁が實驗 2 より 3 の方が小さいことによるものと考えられる。又實驗 2 及び 3 の挫屈

荷重が實驗 1 の場合より、最小挫屈荷重と同程度に下つていないこともエネルギー障壁に原因をもつものと考えてよいであろう。實際に實驗 2, 3 の場合の挫屈が實驗 1 の場合に比して、最小挫屈荷重をある程度こえた挫屈前後のエネルギーの差の大きいところ、即ちエネルギー障壁としては兩

者相近づいたところでおこることは、前者の場合が後者の場合よりも挫屈に際して發する音の大きいことによつても實證された。これらの結果から挫屈がおこるのは最小挫屈荷重によるよりもむしろエネルギー障壁によることが大きいものと考えられる。尙挫屈後の諸量についても計算値と實驗値の差は大きいが兩者の傾向はほぼ一致していると見てよい。最後に一言注意しておきたいことは、エネルギー～伸び曲線(例えば第 14, 16 圖)における挫屈前後の曲線の交わりが非常な鋭角をなす結果、最小挫屈荷重等の諸量の決定の精度を極めて悪くすることであつて、この傾向はバネの剛性が小さい程強い。従つて第 1 表の計算値は正確なものではなく、大體の傾向を示すものと考えべきである。

7. 結 言

圓筒殼の軸壓縮力による挫屈の際の曲面は特殊の展開可能面に極めて近いものであり、従つてその際の變形は概不伸張有限變形である。結局圓筒殼の挫屈の機構は一種の Durchschlag の現象であるということが出来る。

挫屈前及び後のすべての平衡状態従つて實際に實現される状態を決定するものは全ポテンシアル・エネルギー極小の条件ではなく、弾性エネルギー極小の条件である。これは軸方向の縮み一定の条件の下のエネルギー極小を意味し、この現象に對しておかれるべき特別の制限である。この結果挫屈前後のエネルギーの同等の条件によつて定まるところの、理論的限界荷重よりも小さな、最小挫屈荷重と稱する挫屈し得る最小の荷重が存在し、挫屈はそれ以上の荷重においておこり、その

際一定のエネルギー障壁をとり越えなければならぬ。而してこのエネルギー障壁は挫屈荷重の上昇と共に減少する。挫屈荷重は最小挫屈荷重とエネルギー障壁の値とによつて定まるものである。

この様な點から考えれば、局所的挫屈の場合の最小挫屈荷重及びそれに對するエネルギー障壁は全般的挫屈におけるそれらよりも小さく、局所的挫屈の方がおこり易い。又局所的挫屈においても最小挫屈荷重及びエネルギー障壁は負荷装置の剛性の減少と共に減少する傾向をもち、實驗結果も挫屈荷重に關する上の考えを實證しているようである。尙挫屈後の状態もすべて變形エネルギー極小の条件によつて決定されることは勿論であるが、挫屈曲面が展開可能面に近いことから導かれる幾何學的結果もこの現象の理解に役立つものである。

本研究に對して吉識教授より御討議戴いたことを感謝すると共に、實驗、數値計算に示された村田與四郎、阿部慎藏、瀧田巖の諸君の努力を謝する次第である。尙研究費の一部は文部省科學研究費による。

文 献

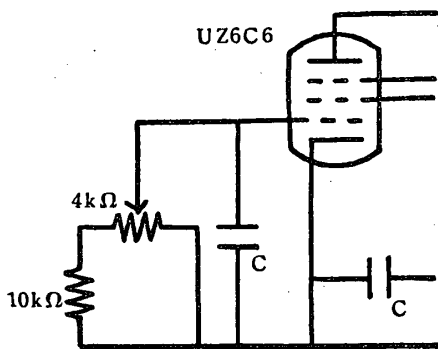
- (1) A. Robertson, *Proc. Roy. Soc., London*, **A**, 121 (1928), 558.
- (2) E. E. Lundquist, *N. A. C. A. Rep.*, 473,
- (3) L. H. Donnell, *Trans. A. S. M. E.* 56, (1934).
- (4) Th. v. Kármán and Hsue-Shen Tsien, *Journ. Aeron. Sci.* 7 (1939).
- (5) 河野忠義, *航空學會誌*, 8 (1941) 70, 178.
- (6) 筆者, *東大理工學研究所報告*, 2 (1948), 12. 3 (1941), 1.

(1951 年 9 月 3 日受理)

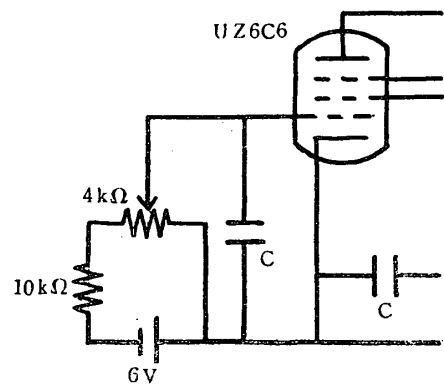
正 誤

卷	號	頁	左 右	行*	誤	正
4	9~10	243	○	12	(本表 a 圖) 第 1 圖左下部	本表 b 圖
4	9~10	243	○	7'	(1) 式右邊第 2 項 $\frac{\epsilon_0+1}{\epsilon_0+2} \cdot (v+\beta)$	$\frac{\epsilon_0-1}{\epsilon_0+2} \cdot (v_0+\beta)$
5	1~2	58	○	12	縮む	縮む
5	5	175	○	第 9 圖	0005 Mg	0.05 Mg
5	5	175	○	第 9 圖	10 Mg	1.0 Mg
5	5	177	○	28	効果	効果
5	5	185	○	5'	$\cos \mu y$	$\cos 2\mu y$
5	5	187	○	7	Q	Q'
5	6	218	○	31	分解液	分解
5	6	230	○	第 1 表	Gu 20, 22	Cu 20, 22

* 行數に ' を附したものは下より数えたもの。



誤
(a 圖)



正
(b 圖)